

# Une Nouvelle Approche pour la Caractérisation de Mesures Corrélées. Le Cas SAR.

Carlos LOPEZ-MARTINEZ<sup>1</sup>, Eric POTTIER<sup>1</sup>

<sup>1</sup> IETR UMR CNRS 6164, Equipe S.A.P.H.I.R, Université de Rennes 1, Campus de Beaulieu - Bat. 11D - Bureau 101  
263 Avenue General Leclerc, 35042 Rennes Cedex, France  
carlos.lopez@univ-rennes1.fr, eric.pottier@univ-rennes1.fr

**Résumé** – L’analyse et la caractérisation des données Corrélées est important pour des différentes techniques et applications dans le traitement du signal. Ce papier considère le cas particulier de données multidimensionnelles de Radar d’Oberture de Synthèse. La première partie du papier présente un modèle du bruit speckle qui permet caractériser des mesures Corrélées. Ce modèle est employé pour déterminer les effets du bruit speckle sur l’estimation d’information physique à travers de la décomposition en valeurs et vecteurs propres des matrices complexes Hermitiens. Le modèle du bruit speckle multidimensionnel permet démontrer que les valeurs propres sont biaisées à cause de la présence de sources du bruit additive.

**Abstract** – *The analysis and characterization of correlated data is important for different signal processing techniques and applications. This paper considers the particular case of multidimensional Synthetic Aperture Radar data. The first part of the paper presents a speckle noise model able to characterize correlated measurements. This model is next employed to determine the effects of speckle noise on the estimation of physical information by considering the eigen decomposition of complex Hermitian matrices. The multidimensional speckle noise model allows demonstrating that the eigenvalues are biased due to the presence of additive noise sources.*

## 1. Introduction

Aujourd’hui, le Radar d’Oberture de Synthèse (SAR en anglais) peut être considéré comme une technique mature pour la caractérisation de la surface de la Terre et de sa dynamique. Dans un premier période, les systèmes SAR monodimensionnels ont démontré leurs capacités pour acquérir l’information de la surface de la Terre avec une très haute résolution spatiale et d’une façon indépendante aux conditions météorologiques et au cycle jour nuit [1]. Néanmoins, l’arrivée des systèmes SAR multidimensionnels dans la dernière décennie a montré réellement l’intérêt de cette technologie.

Les systèmes SAR multidimensionnels ont ouvert la possibilité d’augmenter la quantité d’information qui peut être acquise d’une scène observée par le radar, et conséquemment améliorer sa caractérisation quantitative. La croissance d’information que les systèmes SAR peuvent fournir a son origine au fait que plusieurs canaux d’information sont acquis, mais principalement à la possibilité d’utiliser l’information de corrélation entre les différents canaux. Dans la littérature, il y a beaucoup d’exemples qui montrent les capacités des systèmes SAR multidimensionnels: Interférométrie SAR (InSAR) qui permet d’obtenir la topographie du terrain [2], Polarimétrie SAR (PolSAR) qui permet caractériser les propriétés de retrodiffusion du terrain [3] et finalement la combinaison des deux en Polarimétrie Interférométrie SAR qui est utilisée pour obtenir l’indice de végétation [4] et de là, récupérer la biomasse.

Une des principales caractéristiques des systèmes SAR est leur capacité de récupérer l’information de retrodiffusion avec une très haute résolution spatiale. Cette amélioration, par rapport au radar d’ouverture réelle, est obtenue par moyen d’analyse Doppler des ondes retrodiffusées. Cette analyse cohérente est aussi à l’origine d’un de gros problèmes dans les images SAR, le bruit speckle [5][6]. Malgré que cette source de bruit est bien caractérisée dans les systèmes

monodimensionnels, son analyse dans les systèmes multidimensionnels est encore ouverte.

L’étude et l’analyse des données SAR multidimensionnelles doivent être faites avec des descripteurs statistiques matriciels de deuxième ordre. Dans le domaine SAR, les matrices les plus utilisées sont la matrice de cohérence  $\mathbf{C}$  et la matrice de covariance  $\mathbf{T}$ . Dans ce papier, les auteurs présentent un modèle du bruit speckle multidimensionnel pour la matrice  $\mathbf{C}$  qui permet analyser les effets de cette source de bruit dans l’estimation d’information physique. L’avantage de ce modèle est qu’il peut être généralisé dans d’autres domaines de traitement du signal parce qu’il n’est pas construit sur le cas particulier du SAR, mais sur la description statistique des données SAR.

## 2. Modèle Multidimensionnel du Bruit Speckle

Un système SAR multidimensionnel mesure le vecteur cible

$$\mathbf{k} = [S_1, S_2, \dots, S_m]^T \quad (1)$$

où  $S_p$ , for  $p=1..m$  représentent les images SAR complexes et  $m$  dénote la dimensionnalité du système. Comme exemple,  $m=2$  pour InSAR,  $m=3$  pour PolSAR et  $m=6$  pour PolINSAR, ou les deux derniers sont sous l’hypothèse monostatique. Sous l’hypothèse de retrodiffusion Gaussienne et des données stationnaires, le vecteur  $\mathbf{k}$  est caractérisé par une loi de distribution multidimensionnelle Gaussienne complexe de moyenne zéro,  $\mathbf{k} \sim \mathcal{N}_c(\mathbf{0}, \mathbf{C})$  [5][6]. Comme résultat, il n’est pas possible d’extraire d’information à partir des moments de premier ordre car ils sont égaux à zéro. Le comportement aléatoire du vecteur  $\mathbf{k}$  doit être alors étudié à partir des moments d’ordre supérieur. Comme il a été montré à l’introduction, il y a des différents descripteurs de deuxième ordre qui peuvent être utilisés. Entre eux, il y a la matrice de cohérence  $\mathbf{C}$

$$\mathbf{C} = E\{\mathbf{k}\mathbf{k}^H\} = \begin{bmatrix} E\{S_1 S_1^H\} & E\{S_1 S_2^H\} & \dots & E\{S_1 S_m^H\} \\ E\{S_2 S_1^H\} & E\{S_2 S_2^H\} & \dots & E\{S_2 S_m^H\} \\ \vdots & \vdots & \ddots & \vdots \\ E\{S_m S_1^H\} & E\{S_m S_2^H\} & \dots & E\{S_m S_m^H\} \end{bmatrix}. \quad (2)$$

Un des paramètres plus importants qui peut être extrait du eq. (2) est le coefficient de corrélation complexe normalisé

$$\rho_{pq} = |\rho_{pq}| \exp(j\phi_x^{pq}) = \frac{E\{S_p S_q^*\}}{\psi} = \frac{E\{S_p S_q^*\}}{\sqrt{E\{|S_p|^2\} E\{|S_q|^2\}}} \quad (3)$$

pour  $p, q = 1..m$  et où l'amplitude  $|\rho_{pq}|$  reçoit le nom de cohérence. Il a été montré dans la littérature que ce paramètre est une source importante d'information physique. Dans les cas des applications InSAR, la phase  $\phi_x^{pq}$  peut être liée à la topographie du terrain et  $|\rho_{pq}|$  détermine la qualité de cette information d'une façon telle que des hautes valeurs de  $|\rho_{pq}|$  indiquent que la phase  $\phi_x^{pq}$  n'est pas presque affectée par le bruit speckle [2]. La matrice  $\mathbf{C}$  doit être estimée à partir d'échantillons du vecteur cible, eq. (1), à cause de la présence du bruit speckle. Une première option est d'utiliser l'estimateur de maximum de ressemblance (MLE en anglais)

$$\hat{\mathbf{C}} = \mathbf{Z}_n = \frac{1}{n} \sum_{i=1}^n \mathbf{k}_i \mathbf{k}_i^H. \quad (4)$$

Le principal problème de l'eq. (4) est que la précision de l'estimation de  $\mathbf{C}$  est obtenue au prix d'une perte de résolution spatiale, et conséquemment d'une perte des détails des images SAR. Alors, pour faire face à ce compromis entre précision et perte d'information, il faut étudier de nouvelles approches pour estimer  $\mathbf{C}$ . Une possibilité est de déterminer un modèle du bruit pour les données acquises pour le SAR, qui sera utilisé pour l'éliminer. Le système SAR mesure le vecteur cible  $\mathbf{k}$  d'où il faut estimer  $\mathbf{C}$ . Pour chaque échantillon ou pixel de l'image SAR, il est possible de créer la matrice de cohérence mono look

$$\mathbf{Z} = \mathbf{Z}_1 = \mathbf{k}\mathbf{k}^H. \quad (5)$$

L'objectif du modèle du bruit qui va être présenté est de déterminer comment l'information de  $\mathbf{C}$  est contenue dans  $\mathbf{Z}$ , c'est-à-dire, de déterminer les sources possibles du bruit qui masquent  $\mathbf{C}$ . Comme il peut être observé dans l'eq. (2), tous les éléments de  $\mathbf{C}$ , et pourtant les éléments de la matrice de cohérence mono look  $\mathbf{Z}$ , sont formés à partir des produits hermitiens des éléments du vecteur cible  $\mathbf{k}$ . Alors, il faut que l'on dérive un modèle pour le produit hermitien des éléments du  $\mathbf{k}$ , et après étendre ce modèle à tous les éléments de  $\mathbf{Z}$ . Sous l'hypothèse que  $\mathbf{k}$  est déterminé par une loi de distribution multidimensionnelle gaussienne complexe de moyenne nulle, il a été montré que le produit hermitien  $S_p S_q^*$  peut être approximé d'une façon très précise par le suivant modèle de bruit speckle [7]

$$S_p S_q^* = z \exp(j\phi_x) = \underbrace{\psi \bar{z}_n n_m N_c \exp(j\phi_x^{pq})}_{\text{Terme multiplicative}} + \underbrace{\psi \left( |\rho_{pq}| - N_c \bar{z}_n \right) \exp(j\phi_x^{pq}) + \psi (n_{ar} + j n_{ai})}_{\text{Terme additive}} \quad (6)$$

pour  $p, q = 1..m$ . Les différents paramètres de l'eq. (6) sont détaillés à la suite. Comme il peut être observé dans l'eq. (6), chaque produit hermitien présente deux sources de bruit speckle

- $n_m$ : Cette composante représente un terme de bruit speckle de caractère multiplicatif, car il introduit du bruit seulement dans l'amplitude du produit  $S_p S_q^*$ . Cette composante est caractérisée par

$$E\{n_m\} = 1 \quad \text{var}\{n_m\} = 1. \quad (7)$$

- $n_{ar} + j n_{ai}$ : Cette composante dénote un terme de bruit speckle de caractère additif et complexe. Car il est de nature complexe, ce terme est responsable du bruit de phase. Les termes réel et imaginaire sont caractérisés par

$$E\{n_{ar}\} = E\{n_{ai}\} = 0$$

$$\text{var}\{n_{ar}\} = \text{var}\{n_{ai}\} = \frac{1}{2} \left( 1 - |\rho_{pq}|^2 \right)^{1.32}. \quad (8)$$

La reste des termes de l'eq. (6) sont déterminés de la manière suivante

$$\bar{z}_n = \frac{\pi}{4} {}_2F_1 \left( -\frac{1}{2}, -\frac{1}{2}; 1; |\rho_{pq}|^2 \right) \quad (9)$$

$$N_c = \frac{\pi}{4} |\rho_{pq}| {}_2F_1 \left( \frac{1}{2}, \frac{1}{2}; 2; |\rho_{pq}|^2 \right). \quad (10)$$

où  ${}_2F_1(a, b; c; z)$  est la fonction hypergéométrique gaussienne.

Comme il peut être observé dans l'eq. (6), quand le produit hermitien  $S_p S_q^*$  est caractérisé par une haute cohérence, c'est-à-dire, proche à un, le terme multiplicatif du speckle domine  $S_p S_q^*$ . Dans le cas extrême que  $S_p = S_q$ , le produit  $S_p S_q^*$  présente que le terme multiplicatif  $n_m$ . Ce résultat représente le modèle multiplicatif du bruit speckle qui caractérise l'intensité des images SAR [5]. Alors l'eq. (6) représente une extension du modèle multiplicatif classique du bruit speckle. Au contraire, quand le produit hermitien  $S_p S_q^*$  présente une très basse cohérence, il est dominé par la composante  $n_{ar} + j n_{ai}$ . Alors, il peut être conclu, que la nature du bruit speckle dans le cas général d'un produit hermitien  $S_p S_q^*$  est non stationnaire car il dépend de  $|\rho_{pq}|$ , qui est aussi non stationnaire dans des images SAR. Finalement, il faut indiquer aussi que le terme multiplicatif de l'eq. (6) est modulé par le terme de phase  $\exp(j\phi_x^{pq})$  qui induit aussi une modulation du terme multiplicatif du speckle. Cette modulation provoque que, même, dans les cas d'une très haute cohérence, les parties réel et imaginaire de l'eq. (6) peuvent être dominées par un comportement additif du bruit speckle.

Finalement, le modèle du bruit speckle pour la matrice de cohérence mono look  $\mathbf{Z}$  est dérivé par une extension de l'eq. (6) à tous les éléments de cette matrice. Alors,

$$\text{vec}(\mathbf{Z}) = \text{diag}(\text{vec}(\mathbf{N}_m)) \text{vec}(\mathbf{C}_m) + \text{vec}(\mathbf{C}_a) + \text{vec}(\mathbf{N}_a) \quad (11)$$

où  $\text{vec}(\mathbf{X})$  représente un vecteur de dimension  $m^2 \times 1$  formé par empiler les colonnes de  $\mathbf{X}$ , et  $\text{diag}(\mathbf{x})$  forme une matrice diagonale  $m^2 \times m^2$  avec les éléments du vecteur  $\mathbf{x}$ . Dans l'eq. (11), les différentes matrices présentes dans la formule représentent l'extension naturelle des différentes composantes de l'eq. (6).

### 3. Effets dans l'Estimation d'Information Physique.

Une des plus importantes applications de données SAR polarimétriques, est la possibilité d'identifier le mécanisme de retrodiffusion observé par le radar, et portant d'obtenir d'information quantitative de la surface de la Terre. Cette caractérisation peut être mise en place à travers de la décomposition  $H/A/\alpha$  [8], qui est basée sur la décomposition en valeurs et vecteurs propres de la matrice de cohérence  $\mathbf{C}$

$$\mathbf{\Sigma} = \mathbf{Q}^H \mathbf{C} \mathbf{Q} \quad (12)$$

où la matrice diagonale  $\mathbf{\Sigma}$  contient les valeurs propres de  $\mathbf{C}$ , et  $\mathbf{Q}$  est une matrice  $m \times m$ , complexe et unitaire tel que ses colonnes représentent les vecteurs propres de  $\mathbf{C}$ .

Les valeurs propres sont indiquées par  $\{l_1, l_2, \dots, l_m\}$ , ou  $m=3$ , pour des données SAR polarimétriques dans les cas monostatic, alors que  $m=4$ , dans le cas bistatic. A partir des valeurs propres, il est possible de définir l'Entropie  $H$  [8]

$$H = -\sum_{i=1}^3 p_i \log_3(p_i) \quad p_i = \frac{l_i}{\sum_{j=1}^3 l_j}. \quad (13)$$

L'entropie  $H$  est un indicateur du caractère aléatoire des données, et pourtant il indique la quantité d'information contenue dans les données. Pour  $H$  proches de zéro, les données sont caractérisées pour présenter un mécanisme de retrodiffusion principale. Pour des entropies proche de un, les données sont caractérisées par présenter trois mécanismes de retrodiffusion complètement aléatoires. Le résultat de ce caractère complètement aléatoire est que aucune information ne peut pas être extraite des données SAR polarimétriques. L'importance du deuxième mécanisme de retrodiffusion par rapport au troisième est mesuré par l'Anisotropie  $A$  [8]

$$A = \frac{l_2 - l_3}{l_2 + l_3}. \quad (14)$$

Dans la Section 2, il a été montré que la matrice de cohérence  $\mathbf{C}$  doit être estimée à partir des données mesurées par le radar à cause de la présence du bruit speckle. Les eqs. (6) et (11) montrent les effets du bruit speckle sur l'estimation du  $\mathbf{C}$  à partir de  $\mathbf{Z}_n$ . Néanmoins, les effets du bruit speckle sur la décomposition en valeurs et vecteurs propres du  $\mathbf{C}$ , et finalement sur la décomposition  $H/A/\alpha$ , ne sont pas connus.

### 3.1 Estimation d'Information Basse en la Décomposition en Valeurs et Vecteurs Propres

Pour déterminer les effets du bruit speckle sur l'estimation d'information à partir de la décomposition  $H/A/\alpha$  il est nécessaire de déterminer ces effets sur les valeurs propres de  $\mathbf{Z}_n$ . Il est possible de démontrer que si le vecteur cible, eq. (1), est déterminé par une loi de distribution multidimensionnelle Gaussienne complexe de moyenne zéro,  $\mathbf{k} \sim \mathcal{N}_c(\mathbf{0}, \mathbf{C})$ , la matrice de cohérence  $\mathbf{Z}_n$  est décrite par une loi de distribution Wishart  $\mathbf{Z}_n \sim \mathcal{W}_c(\mathbf{C}, n)$  [9], qui pour  $n \geq m$

$$p_{\mathbf{Z}_n}(\mathbf{Z}_n) = \frac{n^{mn} |\mathbf{Z}_n|^{n-m}}{|\mathbf{C}|^n \tilde{\Gamma}_m(n)} \text{etr}(-n\mathbf{C}^{-1}\mathbf{Z}_n) \quad (15)$$

ou  $\text{etr}(\mathbf{X})$  est l'exponentiel de la trace du  $\mathbf{X}$ , et la fonction gamma multivariée est défini par

$$\tilde{\Gamma}_m(n) = \pi^{m(m-1)/2} \prod_{i=1}^m \Gamma(n-i+1). \quad (16)$$

La décomposition en valeurs et vecteurs propres de la matrice  $\mathbf{Z}_n$  représente un changement des variables entre les termes indépendants du  $\mathbf{Z}_n$  et ses valeurs propres et les paramètres indépendants qui représentent les vecteurs propres. Alors, la loi conjointe de distribution des valeurs et vecteurs propres peut être obtenue à partir d'eq. (15) en utilisant le Jacobien associé avec la transformation en valeurs et vecteurs propres. Finalement, pour obtenir la loi marginale des valeurs ou des vecteurs propres, il faut intégrer sur les vecteurs ou les valeurs propres respectivement. Ce processus d'intégration ne peut pas être fait par des méthodes traditionnelles basées à une intégration terme à terme. Alors, si on considère que la matrice de cohérence estimée  $\mathbf{Z}_n$  présente les valeurs propres données par  $\{\lambda_1, \lambda_2, \dots, \lambda_m\}$ , il est nécessaire de trouver une relation avec les valeurs propres  $\{l_1, l_2, \dots, l_m\}$  pour déterminer les effets du bruit speckle. Dans [10], les auteurs ont effectué une étude approfondie qui avait permis d'obtenir la

loi de distribution des vecteurs propres estimés  $\{\lambda_1, \lambda_2, \dots, \lambda_m\}$  et d'établir la relation avec les véritables valeurs propres  $\{l_1, l_2, \dots, l_m\}$ .

Le Jacobien de la transformation en valeurs et vecteurs propres du  $\mathbf{Z}_n$  peut être écrit de la forme suivante [11]

$$(d\mathbf{Z}_n) = \prod_{i < j}^m (\lambda_i - \lambda_j)^2 (\mathbf{Q}^H d\mathbf{Q})(d\Xi) \quad (17)$$

ou le symbole  $(d\mathbf{X})$  représente le produit extérieur des paramètres indépendants de la matrice  $\mathbf{X}$ , et  $(\mathbf{Q}^H d\mathbf{Q}) = \Lambda_{i=1}^m \Lambda_{j=1}^m \mathbf{q}_i^H \mathbf{q}_j$  est le différentiel de volume dans le groupe  $U(m)$ , connu comme mesure de Haar. Cette forme est très importante lorsqu'elle permet d'intégrer les vecteurs propres. Ce processus d'intégration, qui est basé sur la définition de fonctions hypergéométriques des arguments matriciels et le concept de fonctions *tau* [12], permet d'établir une expression matricielle pour la loi de distribution des valeurs propres de la matrice  $\mathbf{Z}_n$  [10]

$$p_{\Xi}(\Xi) = \frac{\pi^{m(m-1)} n^{\frac{m}{2}(2n-m+1)}}{\tilde{\Gamma}_m(m) \tilde{\Gamma}_m(n)} \prod_{k=1}^{m-1} k^{m-k} \frac{\prod_{i=1}^m \lambda_i^{n-m} \prod_{i < j}^m (\lambda_i - \lambda_j)}{\prod_{i=1}^m l_i^m \prod_{i < j}^m (l_j^{-1} - l_i^{-1})} \left| \exp\left(-n \frac{\lambda_j}{l_i}\right) \right|_{i,j=1}^m \quad (18)$$

Comme il peut être observé, cette loi de distribution est très complexe. Alors, pour obtenir des informations sur un des valeurs propres  $\{\lambda_1, \lambda_2, \dots, \lambda_m\}$  en particulier, il faut intégrer le reste des valeurs propres. A ce moment, ce processus est seulement possible à travers des processus numériques d'intégration. Avec cet esprit, et si on considère des données SAR polarimétriques dans le cas monostatic la fig. 1 représente la moyenne des valeurs propres  $\{\lambda_1, \lambda_2, \dots, \lambda_m\}$  en fonction des échantillons moyens  $n$  si on considère que les vraies valeurs propres prennent les valeurs  $l_1=3, l_2=2$  and  $l_3=1$ .

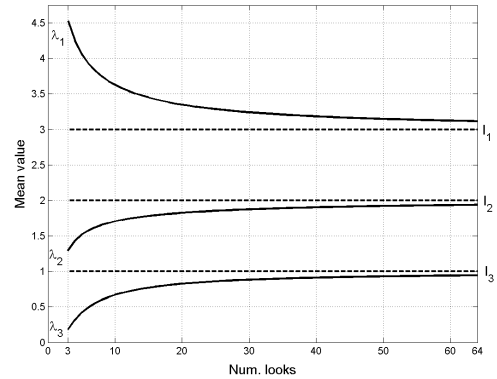


FIG. 1 Moyenne des valeurs propres  $\{\lambda_1, \lambda_2, \lambda_3\}$   $n=3..64$  et  $\{l_1, l_2, l_3\}=\{3, 2, 1\}$ .

Comme il peut être observé dans la fig. 1, les valeurs propres  $\{\lambda_1, \lambda_2, \dots, \lambda_m\}$  sont biaisées par rapport aux vraies valeurs  $\{l_1, l_2, \dots, l_m\}$ . A partir de la loi de distribution de l'eq. (18) il est possible de dériver une expression de premier ordre pour les valeurs propres  $\{\lambda_1, \lambda_2, \dots, \lambda_m\}$  [10]

$$\lambda_i = l_i + \frac{l_i}{n} \sum_{j \neq i}^m \frac{l_j}{l_i - l_j} + O(n^{-1}) \quad i=1..m \quad (19)$$

Le comportement des courbes données dans la fig. 1 correspond avec le comportement indiqué par l'eq. (19).

Les biais sur les valeurs propres introduisent aussi un biais sur les paramètres d'entropie, eq. (13), et anisotropie, eq. (14). En conséquence, comme ces paramètres sont utilisés pour extraire des paramètres physiques, ces paramètres seront aussi biaisés par rapport aux vraies valeurs.

### 3.2 Effets du Bruit Speckle sûr L'estimation des valeurs propres

Dans la Section 2 de cet papier, il à été démontré que le bruit speckle est produit par une combinaison des termes multiplicatives et additives de bruit. Egalement, il à été montré que cette combinaison est déterminée par la structure de corrélation des données, de telle façon que la partie multiplicative est dominante pour des données très corrélées, alors que la partie additive est dominante pour des données très peu corrélées. Dans la suite, le modèle de bruit speckle présenté dans les eqs. (6) et (11) est utilisé pour démontrer les effets des différents termes du bruit speckle sûr l'estimation des valeurs propres  $\{\lambda_1, \lambda_2, \dots, \lambda_m\}$ . Cette démonstration est faite d'une façon très générale, sans être restreinte au cas particulier des données SAR polarimétriques. La démonstration est basée au théorème des cercles de Gerschgorin [13][14].

Selon le théorème des cercles de Gerschgorin, les valeurs propres d'une matrice  $\mathbf{Z}$  sont contenues dans une région du plan complexe formée par l'union des disques

$$|z - \mathbf{Z}_{pp}| \leq R_p \quad p = 1..m \quad (20)$$

qui sont définis par les centres

$$|z - \mathbf{Z}_{pp}| \quad z \in \mathbb{C} \quad p = 1..m \quad (21)$$

Et par les rayons

$$R_p = \sum_{\substack{q=1 \\ p \neq q}}^m |\mathbf{Z}_{pq}| \quad p, q = 1..m \quad (22)$$

Donnée la matrice de cohérence  $\mathbf{Z}$ , l'eq. (21) indique que les centres des  $m$  disques sont déterminés par les éléments de la diagonale de la matrice  $\mathbf{Z}$ . Ces éléments représentent la puissance dans chaque un des éléments du vecteur cible  $\mathbf{k}$  qui sont seulement affectés par le terme multiplicative du bruit speckle. Alors,

$$E\{\mathbf{Z}_{pp}\} = E\{\psi n_m\} = \psi \quad p = 1..m. \quad (23)$$

Eq. (23) indique que les centres des disques sont pas affectés par les sources de bruit speckle, car la puissance des différents canaux est estimée sans biais. Par contre, comme il est indiqué par l'eq. (22), les valeurs des rayons des disques dépendent à l'amplitude des éléments de dehors de la diagonale de la matrice  $\mathbf{Z}$ . En prenant eq. (22), l'espérance des rayons se trouve selon

$$E\{R_p\} = \sum_{\substack{q=1 \\ p \neq q}}^m E\{|\mathbf{Z}_{pq}|\} \quad p, q = 1..m. \quad (24)$$

Si on considère l'inégalité du triangle, pour un élément particulier de dehors de la diagonale de la matrice  $\mathbf{Z}_n$ , la moyenne de l'amplitude présente la suivante expression

$$\begin{aligned} E\{|\mathbf{Z}_{pq}|\} &\leq \psi \bar{z}_n N_c + \psi (|\rho_{pq}| - N_c \bar{z}_n) + \\ &= \psi |\rho_{pq}| + E\{|n_{ar} + jn_{ai}|\} \quad p, q = 1..m \end{aligned} \quad (25)$$

A partir de la loi de distribution Wishart, eq. (15), il n'est pas possible de trouver une expression directe pour le terme  $E\{|n_{ar} + jn_{ai}|\}$  du eq. (25). Néanmoins, si on considère eq. (8) on trouve

$$E\{|n_{ar} + jn_{ai}|^2\} = (1 - |\rho_{pq}|^2)^{1.32}. \quad (26)$$

Eq. (26) indique que dans les cas de données complètement corrélées les rayons des différents disques sont pas biaisés par rapport à ses vraies valeurs, qui sont  $\psi |\rho_{pq}|$ . Par contre, les

rayons présentent un biais quand la cohérence  $|\rho_{pq}|$  est plus petite que un. D'une façon générale, si on inclut le résultat dérivé dans eq. (26) dans eqs. (24) et (25), une perte de corrélation entre les différents canaux implique un agrandissement de la région qui contient les valeurs propres  $\{\lambda_1, \lambda_2, \dots, \lambda_m\}$ , par rapport à la région qui contient les vraies valeurs propres  $\{l_1, l_2, \dots, l_m\}$ . Comme  $\{\lambda_1, \lambda_2, \dots, \lambda_m\}$ , et aussi  $\{l_1, l_2, \dots, l_m\}$ , sont réels et positifs, alors que les matrices  $\mathbf{Z}$  et  $\mathbf{C}$  sont des matrices Hermitiennes définies semipositives, l'agrandissement de la région qui contient les valeurs propres indique que le terme additive de bruit speckle est le responsable des biais sûr des valeurs propres.

## 4. Conclusions

Le comportement aléatoire des mesures corrélées, connu comme bruit speckle dans le domaine de mesures multidimensionnelles avec des radars d'ouverture de synthèse, peut être caractérisé par une combinaison de termes du bruit avec des caractères multiplicative et additive. Le modèle de bruit speckle proposé a permis de démontrer que les valeurs propres de la matrice de cohérence  $\mathbf{Z}$ , qui caractérise les mesures corrélées, sont biaisées par rapport aux vraies valeurs. Ce biais est induit principalement par des sources additives du bruit speckle.

## Références

- [1] J. C. Curlander and R. N. McDonough, *Synthetic Aperture Radar: Systems and Signal Processing*. New York: John Wiley & Sons, Inc., 1991.
- [2] R. Bamler and P. Hartl, "Synthetic Aperture Radar Interferometry," *Inverse Problems*, vol. 14, pp. R1-R54, 1998.
- [3] F. T. Ulaby and C. Elachi, *Radar Polarimetry for Geoscience Applications*. Norwood, MA: Artech House, 1990.
- [4] S. R. Cloude and K. P. Papathanassiou, "Polarimetric SAR Interferometry," *IEEE Trans. Geosci. Remote Sensing*, vol. 36, no. 5, pp. 1551 – 1565, Sept. 1998.
- [5] J. S. Lee, "Speckle Analysis and Smoothing of Synthetic Aperture Radar Images," *Comput. Graph. Image Process.*, vol. 17, pp. 24-32, 1981.
- [6] F. M. Henderson and A. J. Lewis, *Principles & Applications of Imaging Radar Vol. 2*. New York: John Wiley & Sons, Inc., 1998.
- [7] C. López-Martínez and X. Fábregas, "Modelling and Reduction of SAR Interferometric Phase Noise in the Wavelet Domain," *IEEE Trans. Geosci. Remote Sensing*, vol. 40, no. 12, pp. 2553 – 2566, Dec. 2002.
- [8] S. R. Cloude and E. Pottier, "A Review of Target Decomposition Theorems in Radar Polarimetry," *IEEE Trans. Geosci. Remote Sensing*, vol. 34, no. 2, pp. 498 – 518, March 1996.
- [9] N. R. Goodman, "Statistical Analysis Based on a Certain Multivariate Complex Gaussian Distribution (an Introduction)," *Ann. Math. Statist.*, vol. 34, pp. 152-177, 1963.
- [10] C. Lopez-Martínez, E. Pottier, "Statistical Assessment of Eigenvector-Based Target Decomposition Theorems in Radar Polarimetry" in Proc. IGARSS, Anchorage, Alaska, Sept. 2004.
- [11] C. E. Porter. *Statistical Theories of Spectra: Fluctuations*. Academic Press, New York, 1965.
- [12] E. Data, M. Jimbo, M. Kashiwara and T. Miwa, "Transformation groups for soliton equations" in: *Nonlinear integrable systems – classical theory and quantum theory*. World Scientific, 29-120, 1983.
- [13] R. A. Brualdi, S. Mellendorf, "Regions in the complex plane containing the eigenvalues of a matrix," *The Am. Mathematical Monthly*, Vol. 101, no. 10, pp. 975-985, Dec 1994.
- [14] E. W. Weisstein. "Gerschgorin Circle Theorem." From MathWorld - A Wolfram Web Resource. <http://mathworld.wolfram.com/GerschgorinCircleTheorem.html>